

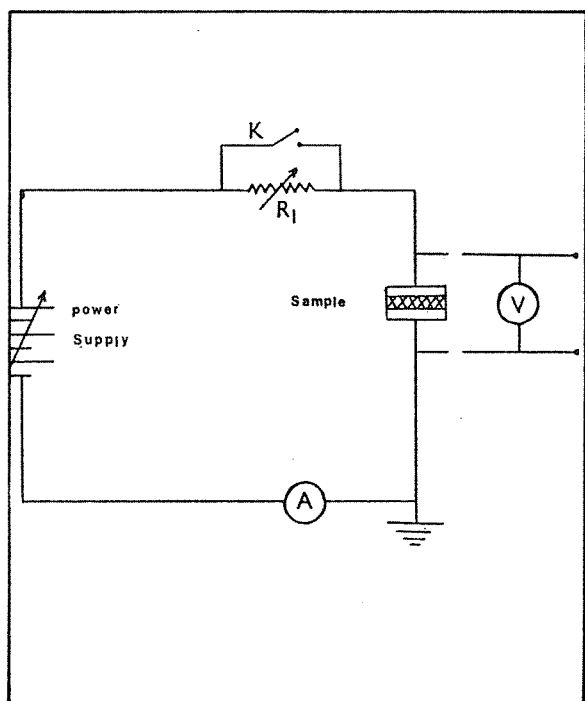
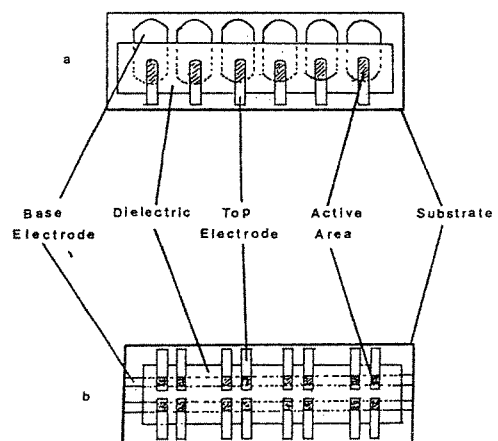
عبور جریان هوا) باعث افزایش Von گردید.

با توجه به مشاهدات فوق و بررسی کارهای قبلی در این زمینه مدل زیر که براساس تشکیل یک فیلامن هدایت کننده در داخل دی الکتریک در طی عمل فرمینیک می باشد ارائه می گردد.

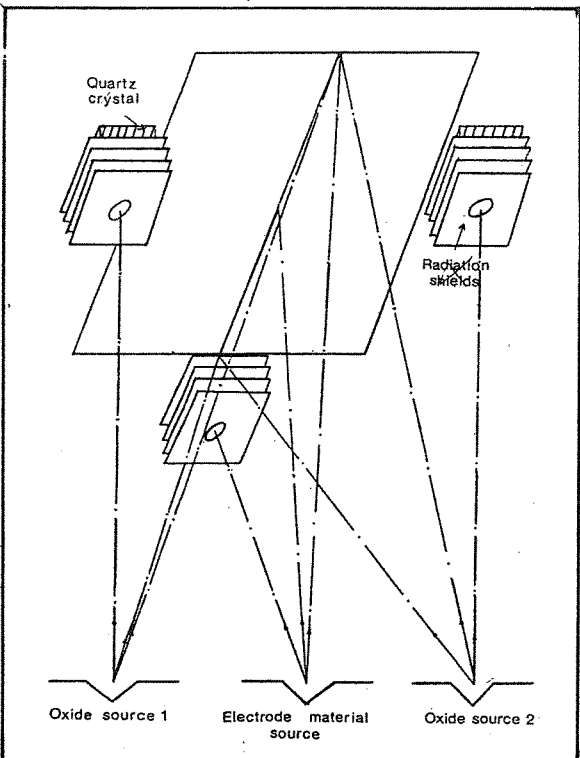
در ابتدا با افزایش ولتاژ در دروسر المان هدایت الکتریکی به صورت فرا آیندهای گوناگون الکتریکی در داخل دی الکتریک صورت می گیرد. یکنواخت نبودن لایه دی الکتریک از نظر اندازه و طبیعت شیمیائی باعث غیر یکنواخت بودن اندازه میدان الکتریکی در دی الکتریک شده و این زمینه را برای ایجاد یک فیلامن بین دو الکترود و در داخل دی الکتریک در جایی که میدان الکتریکی ماکریسم مقدار را دارا می باشد فراهم می سازد. عبور جریان از چنین کانالی باعث بالا رفتن درجه حرارت در آن (به علت گرمای ژول) و در نتیجه دی الکتریک گردید تا آنکه در V_{TH} در اثربلده گریز حرارتی (Thermal run away) ولتاژ در دروسر المان پایین می افتد. رها شدن الکترونهای انبار شده (در اثربلاین افتادن ولتاژ) درجه حرارت فیلامن را احتمالاً تا حدود صدها درجه سانتی گراد افزایش می دهد که این باعث نفوذ اتم های الکترود به داخل فیلامن می گردد. فلزی شدن فیلامن باعث عبور جریان زیاد و ایجاد حالت on می گردد.

برگشت مجدد به حالت off با اضافه شدن جریان در المان و ذوب فیلامن در نقطه ای با مقاومت کم صورت می گیرد.

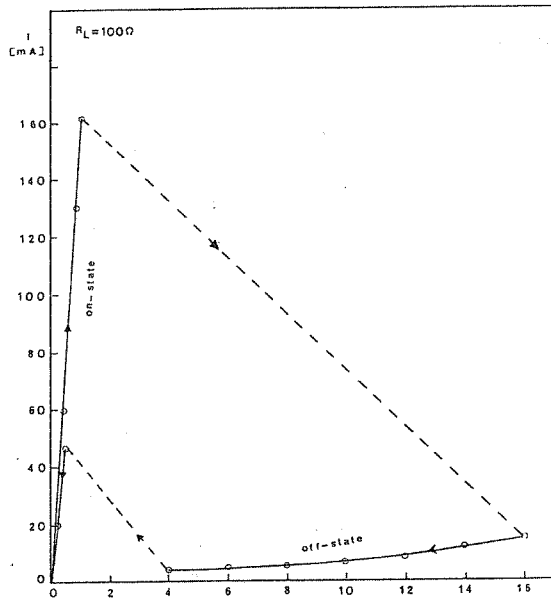
شکل ۱ – شکل المان های تهیه شده. (a) آرایش ۱ و (b) آرایش ۲



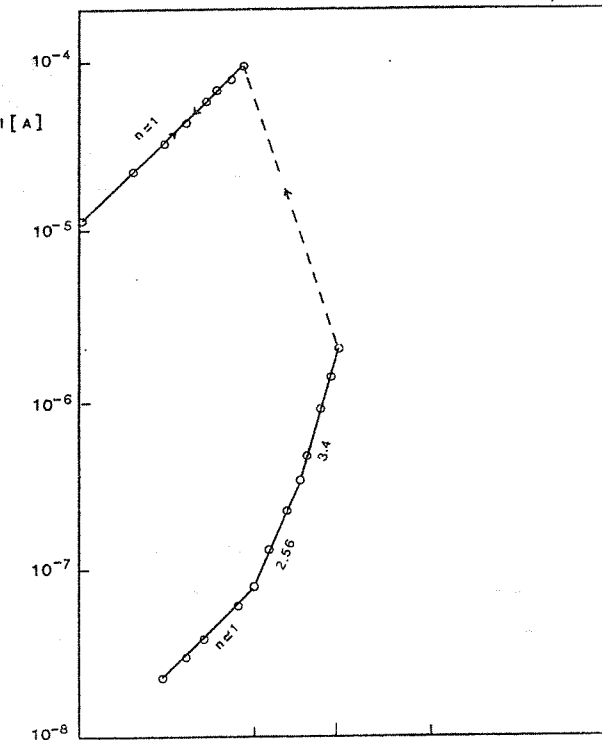
شکل ۳ – مدار الکتریکی بکار گرفته شده.



شکل ۲ – وضع قرار گرفتن قابلهای محتوی مواد، پایه و بلور کوارتز به عنوان مانیتور.



شکل ۵ – نمودار جریان و لتأثر بروط به سویچ المانی به صورت
 $\text{Ag} (700\text{\AA}) - \text{SiO} / \text{B}_2\text{O}_3 (1000\text{\AA}) - \text{Ag} (1000\text{\AA})$
 در درجه حرارت اطاق و $R_L = 100\Omega$



شکل ۶ – نمودار جریان و لتأثر حالت سویچ از نوع حافظه برای
 $\text{Cu} (380\text{\AA}) - \text{SiO} / \text{B}_2\text{O}_3 (2000\text{\AA}) - \text{Cu} (450\text{\AA})$
 در درجه حرارت اطاق و $R_L = 20 \text{ k}\Omega$

منابع

- 1 - Coutts, T. J. 1978, «Active and Passive thin film Devices» (Academic Press, London, Newyork, San Fransisco.)
- 2 - Dearnaley, G et al 1970, A model for filament growth and switching in amorphous oxide films. *J. non - crystalline solids* 4, 539.
- 3 - Gundlach, K. H et al 1972. *Phys. stat. sol.*, A10, 371.
- 4 - Hickmott, T. W 1962. *J. appl. Phys.*, 33, 2669; 1964 *Ibid.*, 35, 2679.
- 5 - Hogarth, C. A and Kompany, A, 1982. *Int. J. electronics*, 53, 301.
- 6 - Kreyniha et al, 1960, *Radio Eng. elect - phys.*, 5, 219/
- 7 - Mann, H. T, 1964 - *J. appl - phys.*, 35, 2173,
- 8 - Rakhshani, A. E et al 1976 *J. non crystalline solids*, 20, 25.
- 9 - Ralph, J. E and woodcock, J. M, 1972, *J - non - crystalline solids* 7, 236.
- 10 - Simmons, J. G and Verderber, R - R 1967. *proc. R - soc A*, 301, 77.
- 11 - Sutherland, R - R, 1971, *J. phys, D*, 4, 468.